

## 线性随机系统 $H_2$ 滤波与 $H_\infty$ 滤波

张志钢<sup>1,2</sup>, 王付生<sup>2</sup>, 沈宏<sup>3</sup>

<sup>1</sup> 山东大学控制科学与工程学院, 济南 250062;

<sup>2</sup> 山东电力高等专科学校控制系, 济南 250002;

<sup>3</sup> 济南市铸造锻压机械研究所, 济南 250022)

**摘要:** 卡尔曼滤波技术在控制工程中得到了广泛应用。若得到较精确的系统模型, 且噪声统计特性已知的情况下, 可以采用卡尔曼滤波技术得到状态的最优估计值; 在噪声统计特性未知的情形, 经典卡尔曼滤波应用就会受到限制, 此时可以运用  $H_\infty$  滤波来解决。本文给出了  $H_2$  滤波与  $H_\infty$  滤波的方法, 并通过仿真分析, 对二者的性能进行了对比研究。

**关键词:**  $H_2$  滤波;  $H_\infty$  滤波; 线性随机系统; 离散时间系统; Riccati 方程

卡尔曼滤波技术是 R. E. Kalman 于 1960 年提出的基于状态空间模型的递推状态估计算法<sup>[1]</sup>, 在之后近 50 年时间在航空航天、电力、船舶、造纸、石油地震勘探等工程领域得到广泛应用<sup>[2,3]</sup>。作为最优控制的必要组成部分, Kalman 滤波技术已经得到人们深入广泛的研究, 理论已渐趋于完善<sup>[3,4]</sup>。

经典 Kalman 滤波理论就是  $H_2$  意义上的滤波技术, 即  $H_2$  滤波, 它适合处理状态噪声、观测噪声与状态初值估计偏差都是白噪声, 但仅在相同时刻是相关、在不同时刻无关, 且在相互之间是无关的情形。

$H_\infty$  滤波与  $H_2$  滤波不同之处在于, 它用未知的具有有限能量的确定性干扰替代白噪声干扰, 并保证从干扰到估计误差的能量增益小于预定的性能指标  $\gamma(\gamma > 0)$ 。

### 1 $H_2$ 滤波

考虑离散的线性时变随机系统

$$\begin{aligned} x(t+1) &= \Phi_t x(t) + \Gamma_t u(t) \\ y(t) &= H_t x(t) + v(t) \end{aligned} \quad (1)$$
$$(2)$$

其中状态  $x(t) \in R^n$ , 观测  $y(t) \in R^m$ ,  $\Phi_t$ 、 $\Gamma_t$ 、

$H_t$  是适当维的时变矩阵, 系统噪声  $u(t) \in R^r$  是零均值的白噪声, 在相同时刻是相关的, 观测噪声  $v(t) \in R^m$  也是零均值的白噪声, 在相同时刻相关, 且与  $u(t)$  无关, 即有下面各式成立:

$$\begin{aligned} E[u(t)] &= 0, E[v(t)] = 0, \\ E[w(t)v^T(k)] &= 0, E[u(t)u^T(j)] = Q_t \delta_{tj}, \\ E[v(t)v^T(j)] &= R_t \delta_{tj} \end{aligned}$$

其中,  $E$  为均值符号, 上标 T 是转置符号。假定初始观测时刻  $t_0 = 0$ , 且有

$$E[x(0)] = 0, E[x(0)x^T(0)] = \Pi_0$$

且  $x(0)$  与  $u(t)$  和  $v(t)$  都不相关。

**$H_2$  滤波问题** 基于观测量构成的线性空间  $L\{y(0), y(1), \dots, y(t)\}$ , 给出当前时刻的状态估计值  $\hat{x}(t)$ , 且使下面的性能指标最小:

$$J = E[(x(t) - \hat{x}(t))^T (x(t) - \hat{x}(t))] \quad (3)$$

**定理 1** 设计如下实时递推的滤波算法:

$$\begin{aligned} \hat{x}(t+1) &= \Phi_t \hat{x}(t) + P(t+1) H_{t+1}^T \\ &\cdot [H_{t+1} P(t+1) H_{t+1}^T + R_{t+1}]^{-1} (y(t+1) - H_{t+1} \Phi_t \hat{x}(t)) \end{aligned} \quad (4)$$

其中,  $\hat{x}(0)=0$ ,  $P(t)$  由下面矩阵 Riccati 方程递推求解

$$\begin{aligned} P(t+1) &= \Phi_t P(t) \Phi_t^T + \Gamma_t Q_t \Gamma_t^T \\ &\quad - \Phi_t P(t) H_t^T [H_t P(t) H_t^T + R_t]^{-1} H_t P(t) \Phi_t^T \\ P(1) &= \Phi_0 \Pi_0 \Phi_0^T + \Gamma_0 Q_0 \Gamma_0^T \end{aligned} \quad (5)$$

## 2 $H_\infty$ 滤波

$H_\infty$  滤波的主要设计思想是引入鲁棒控制设计中的性能指标等概念, 在系统的噪声缺乏统计特性时来解决状态估计问题。

对于线性离散系统

$$x(t+1) = \Phi_t x(t) + \Gamma_t u(t), \quad \hat{x}(0) = 0 \quad (6)$$

$$y(t) = H_t x(t) + v(t) \quad (7)$$

$$z(t) = L_t x(t) \quad (8)$$

其中,  $\{u_j\}$  和  $\{v_j\}$  是未知噪声,  $z(t) \in R^p$  是待估计的向量, 它是状态的线性组合, 其余变量定义同前。

$H_\infty$  滤波问题: 给出标量  $\gamma > 0$ , 求取状态的估计值  $\hat{z}(t)$ , 使之满足下面的性能指标:

$$\sup_{\{u_j\}, \{v_j\}} \frac{\sum_{j=0}^t [\hat{z}(j) - z(j)]^T [\hat{z}(j) - z(j)]}{x_0^T \Pi_0^{-1} x_0 + \sum_{j=0}^t u(j)^T u(j) + \sum_{j=0}^t v(j)^T v(j)} < \gamma^2 \quad (9)$$

其中, 正定矩阵  $\Pi_0$  表示状态初始估计值偏离真值的程度。可将上述指标等价于求取下面性能指标  $J$  的最小值:

$$\begin{aligned} J &= x_0^T \Pi_0^{-1} x_0 + \sum_{j=0}^t u(j)^T u(j) + \sum_{j=0}^t v(j)^T v(j) \\ &\quad - \gamma^{-2} \sum_{j=0}^t [\hat{z}(j) - z(j)]^T [\hat{z}(j) - z(j)] \end{aligned}$$

$$= \begin{bmatrix} x_0 \\ u^N \\ v_s^N \end{bmatrix}^T \begin{bmatrix} \Pi_0 & & \\ & Q^N & \\ & & R^N \end{bmatrix}^{-1} \begin{bmatrix} x_0 \\ u^N \\ v_s^N \end{bmatrix}$$

式中,

$$u^N = \text{col}\{u(0), u(1), \dots, u(t)\}$$

$$v_s^N = \text{col}\{v_s(0), v_s(1), \dots, v_s(t)\},$$

$$v_s(j) = \begin{pmatrix} v(j) \\ v_s(j) \end{pmatrix} = y_s(j) - \begin{pmatrix} H_j \\ L_j \end{pmatrix} x(j)$$

$$Q^N = Q(0) \oplus \dots \oplus Q(t), \quad Q(i) = I,$$

$$R^N = R(0) \oplus \dots \oplus R(t),$$

$$R(i) = \begin{pmatrix} I_m & 0 \\ 0 & -\gamma^{-2} I_p \end{pmatrix}$$

其中:  $v_s(j) = \hat{z}(j) - z(j)$  显然  $J > 0$  成立。

$$y_s^N = \text{col}\{y_s(0), y_s(1), \dots, y_s(t)\}$$

$$y_s(j) = \begin{pmatrix} y(j) \\ \hat{z}(j) \end{pmatrix}$$

显然有下式成立:

$$\begin{bmatrix} x_0 \\ u^N \\ y_s^N \end{bmatrix} = \Psi \begin{bmatrix} x_0 \\ u^N \\ v_s^N \end{bmatrix} \quad (11)$$

其中,  $\Psi$  为确定的可逆矩阵。(10)式所表示的性能指标可改写为

$$J = \begin{bmatrix} x_0 \\ u^N \\ y_s^N \end{bmatrix}^T \left( \Psi \begin{bmatrix} \Pi_0 & & \\ & Q^N & \\ & & R^N \end{bmatrix} \Psi^T \right)^{-1} \begin{bmatrix} x_0 \\ u^N \\ y_s^N \end{bmatrix} \quad (12)$$

可引入下面格林空间的随机系统<sup>[3]</sup>

$$x(t+1) = \Phi_t x(t) + \Gamma_t u(t), \quad \hat{x}(0) = 0 \quad (13)$$

$$y_s(t) = \begin{bmatrix} H_t \\ L_t \end{bmatrix} x(t) + v_s(t) \quad (14)$$

式中,  $x_0, \{u_j\}$  和  $\{v_j\}$  都属于内积不定的线性空间——格林空间  $\mathbf{x}$ , 而不是属于希尔伯特空间, 且它们之

间满足关系:

$$\left\langle \begin{bmatrix} \mathbf{x}_0 \\ \mathbf{u}^N \\ \mathbf{v}^N \end{bmatrix}, \begin{bmatrix} \mathbf{x}_0 \\ \mathbf{u}^N \\ \mathbf{v}^N \end{bmatrix} \right\rangle = \begin{bmatrix} \Pi_0 & & \\ & Q^N & \\ & & R^N \end{bmatrix} \quad (15)$$

假定观测值  $\{y_j\}$  来自这一状态空间, 即可由如下的

定理来求得状态的  $H_\infty$  估计。

**定理 2** 给定  $\gamma > 0$ , 如果  $\Phi_i$  非奇异, 则当且仅当

$$P^{-1}(j) + H_j^T H_j - \gamma^{-2} L_j^T L_j > 0 \quad (j=0, 1, \dots, t) \quad (16)$$

时  $J > 0$  成立, 并可求出  $H_\infty$  滤波器为

$$\hat{\mathbf{z}}(t) = L_t \hat{\mathbf{x}}(t) \quad (17)$$

其中,

$$\begin{aligned} \hat{\mathbf{x}}(t+1) &= \Phi_t \hat{\mathbf{x}}(t) + P(t+1) H_{t+1}^T \\ &\cdot (H_{t+1} P(t+1) H_{t+1}^T + I_m)^{-1} (y(t+1) - H_{t+1} \Phi_t \hat{\mathbf{x}}(t)) \end{aligned} \quad (18)$$

初值为  $\hat{\mathbf{x}}(0) = 0$ 。其中,  $P(t)$  可由下面的 Riccati 方程递推求得

$$\begin{aligned} P(t+1) &= \Phi_t P(t) \Phi_t^T + \Gamma_t \Gamma_t^T - \Phi_t P(t) \begin{bmatrix} H_t \\ L_t \end{bmatrix}^T \\ &\cdot \left( \begin{bmatrix} H_t \\ L_t \end{bmatrix} P(t) \begin{bmatrix} H_t \\ L_t \end{bmatrix}^T + \begin{bmatrix} I_m & 0 \\ 0 & -\gamma^{-2} I_p \end{bmatrix} \right)^{-1} \begin{bmatrix} H_t \\ L_t \end{bmatrix} P(t) \Phi_t^T \quad (19) \\ P(1) &= \Pi_0 \end{aligned}$$

### 3 仿真分析

比照(4)式与(18)式可以看出,  $H_\infty$  滤波与  $H_2$  滤波的形式是很相似的, 只是在(19)式的 Riccati 方程递推过程出现了如

$$R = \begin{bmatrix} I_m & 0 \\ 0 & -\gamma^{-2} I_p \end{bmatrix} \text{ 的内积不定情形。}$$

另外, 在递推求解时需要满足条件(16), 否则  $H_\infty$  滤波问题的解就不存在。而基于希尔伯特空间正交投影一定存在, 因此  $H_2$  滤波也必然有解。

下面通过仿真对  $H_2$  滤波与  $H_\infty$  滤波进行对比研究。取

$$\Phi = \begin{bmatrix} 0 & 1 \\ -0.26 & -1 \end{bmatrix}, \Gamma = \begin{bmatrix} 0.4 \\ 1 \end{bmatrix}, H = \begin{bmatrix} 2 & 1 \end{bmatrix}$$

1) 当  $w, v$  均为白噪声时, 且  $Q=1, W=1, L=I_2$  时,  $H_2$  滤波的仿真曲线如图 1 所示, 而采用  $H_\infty$  滤波的仿真曲线如图 2 所示。

由图 1 和图 2 的比较发现, 在系统噪声与测量噪声均为白噪声, 且统计特性已知时,  $H_2$  滤波要比  $H_\infty$  滤波的结果好。

2) 当  $w, v$  不是白噪声或噪声的统计特性未知时, 因无法得到状态的最优  $H_2$  滤波, 只能采用  $H_\infty$  滤波。其实验仿真曲线如图 3 所示。

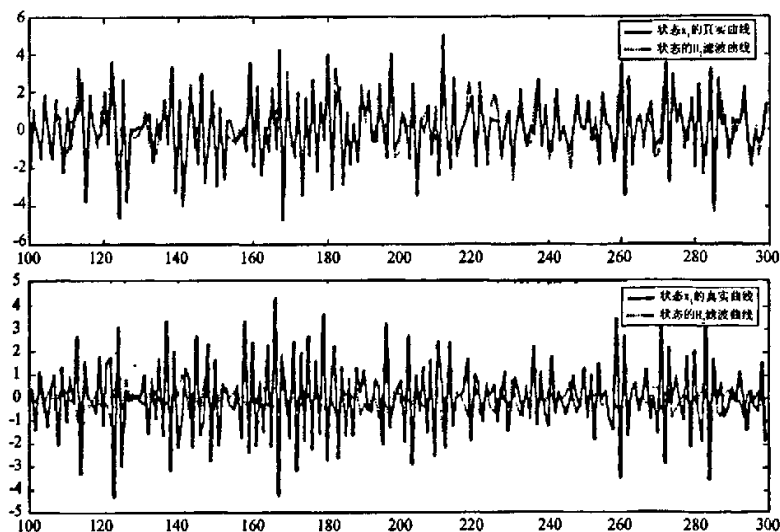


图 1 系统噪声与测量噪声均为白噪声时  $H_2$  滤波曲线

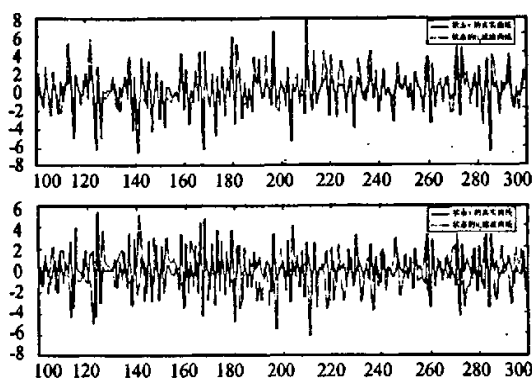


图2 系统噪声与测量噪声均为白噪声时  $H_2$  滤波曲线

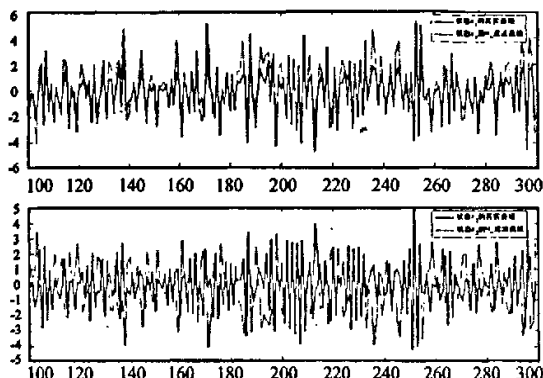


图3 系统噪声与测量噪声为未知统计特性噪声的  $H_2$  滤波曲线

由图(3)可以看出, 在系统噪声与测量噪声的统计特性未知时, 采用  $H_2$  滤波也能得到状态较好的估计。

## 4 结论

本文讨论了  $H_2$  滤波与  $H_\infty$  滤波的递推计算方法。可以看出,  $H_2$  滤波实际上可视为在内积不定格的格林空间中的 Kalman 滤波。另外,  $H_\infty$  滤波要满足附加的条件(16)式, 因此格林空间的正交投影不一定存在, 而希尔伯特空间的正交投影肯定存在, 因此  $H_2$  滤波必然有解。

通过实例仿真表明, 当噪声是白噪声, 且统计特性确切得到时,  $H_2$  滤波会得到较理想的结果, 而在噪声不是白噪声, 或存在一定的不确定性时, 则可由  $H_\infty$  滤波得到较为满意的状态估计值。

在系统中没有噪声或干扰较小时, 可考虑设计状态观测器来估计状态, 否则就要用 Kalman 滤波作为状态估计方法。Kalman 滤波算法具有递推的形

式, 非常便于计算机编程实现, 具有较大的灵活性和实时性。对经典 Kalman 必要的改进后, 可适用于非线性时变系统甚至时滞系统等更为复杂的情形。

## 参考文献

- 1 Kalman, R E, A new approach to linear filtering and prediction problem. Journal of Basic Engineering, Trans. ASME-D, 1960, 82(1):35-45.
- 2 邓自立. 卡尔曼滤波与维纳滤波在现代时间序列分析方法. 哈尔滨: 哈尔滨工业大学出版社, 2001.
- 3 Huanshui Zhang, Lihua Xie, Yeng Chai Soh. A unified approach to linear estimation for discrete-time systems. I.  $H_2$  estimation. Proceedings of the 40th IEEE Conference on Decision and Control, 2001, 3:2917-2922.
- 4 Huanshui Zhang, Lihua Xie, Yeng Chai Soh. A unified approach to linear estimation for discrete-time systems. II.  $H_\infty$  estimation. Proceedings of the 40th IEEE Conference on Decision and Control, 2001, 3:2923-2928.
- 5 李明干等. 继电器. 基于卡尔曼滤波的电力系统短期负荷预测, 2004.